

九州大学工学部 正員 粟谷陽一
九州工業大学 正員 ○藤崎一裕

1. まえがき

加圧脱水操作は、スラリーを一定圧力で容器内に圧入済過する圧入操作と、生成したケーキをさらに高圧で圧縮する圧縮操作とに分けて取扱われる。これらの操作は、その操作の対象となる原料の種類と性質とに変化が多いために、一般的に利用できらる理論は見出されていない。この操作の圧入過程には定圧済過の理論が、また圧縮過程には土質力学における圧密の理論が、それぞれその解析に利用されている。筆者らは、これらの従来の手法をさらに進めて、ケーキの圧縮変形を考慮し、加圧脱水過程のより一般的な検討を試みた。すなわち、圧縮によるケーキ空隙率の変化によって生じるケーキ内の個々の部分における透水係数の減少をとり入れて式を導き、これらに式を用いて、脱水速度過程の数値計算を行なつた。

2. 加圧脱水過程の計算式

脱水槽内の液体の圧力勾配と流速との間にDarcyの式が成立するものとすると(1)式がえられる。

$$q = -\frac{K}{\mu} \frac{dP_s}{dx} = \frac{K}{\mu} \frac{dP_s}{dx} \quad (1)$$

ここで、 q : 固体粒子基準の液体の空塔速度、 μ : 液体の粘性係数、 x : 脱水面からの距離、 K : (1)式で定義される透水係数、 P_s 、 P_t は液体およびケーキ粒子の分圧である。液体およびケーキ粒子に対する連続の式は

$$\frac{\partial e}{\partial t} + \frac{\partial \varrho_s}{\partial x} = 0 \quad \frac{\partial (1-e)}{\partial t} + \frac{\partial R}{\partial x} = 0 \quad (2)$$

となる。ここで e : 空隙率、 ϱ_s : 液体の空塔速度、 R : ケーキ粒子の移動速度(空塔)、 t : 脱水時間である。

(1)、(2)式は(3)式で定義されケーキ固体質量 w を用いて(4)、(5)式に変換される。

$$w = \int_0^x (1-e) \varrho_s dx \quad (3) \quad (\varrho_s: ケーキ固体粒子の密度)$$

$$q = \frac{1}{\mu \alpha_x (1-e) \varrho_s} \frac{dP_s}{dw} \quad (\alpha_x = 1/\{K(1-e) \varrho_s\}) \quad (4)$$

$$\frac{1}{\varrho_s} \frac{\partial e}{\partial t} + \frac{\partial q}{\partial w} = 0 \quad (e = \varepsilon / (1-\varepsilon)) \quad (5)$$

空隙率と透水係数との間にKozeny-Carmanの式(6)が成り立つものとし、ケーキの圧縮圧と空隙率との間にSperry型の実験式(7)を仮定する。

$$K = 1 / \{ \alpha_x (1-e) \varrho_s \} = \varepsilon^3 / \{ k_0 S_v^2 (1-\varepsilon)^2 \} \quad (S_v: ケーキ粒子の比表面積、k_0: 定数) \quad (6)$$

$$\varepsilon = a (P_s / P_{\infty})^{-b} \quad (a, b, P_{\infty}: 定数) \quad (7)$$

(4)、(5)式から(8)式がえられる。この(8)式に(6)、(7)式を代入したもののが、ケーキ固体質量を基準とした、脱水過程の進行にともなう固体分圧の変化を表わす式である。

$$\frac{\partial P_s}{\partial t} = -\frac{\varrho_s}{de/dP_s} \frac{\partial \varrho_s}{\partial w} = -\frac{\varrho_s}{\mu} \frac{dP_s}{de} \frac{\partial}{\partial w} \left(\frac{1}{\alpha_x} \frac{\partial P_s}{\partial w} \right) = -\frac{\varrho_s}{\mu} \frac{dP_s}{de} \frac{1}{\alpha_x} \left\{ \frac{\partial^2 P_s}{\partial w^2} - \frac{1}{\alpha_x} \frac{d\alpha_x}{dP_s} \left(\frac{\partial P_s}{\partial w} \right)^2 \right\} \quad (8)$$

3. 計算例

(8)式を無次元化して整理した後、Eularの前進差分法により数值解を求めた。図1Aは圧入圧3kg/cm²、

圧搾圧 15 kg/cm^2 、ケーキ粒子の表面積平均径および密度をそれぞれ、 0.3μ 、 2.6 g/cm^3 として脱水時間 $t(\text{分})$ と脱水量 $Q(\text{cc})$ との関係を求めたものである。圧入時間 t を種々変化させて脱水操作を行なった場合を想定したもので、実線が圧入による脱水、点線が圧搾による脱水を表わす。B、Cは実測値の一例である。図によると、実測値の方が圧入が進行しても脱水速度が大きめに出る傾向があるが、これは計算時にケーキの圧縮性を過大に仮定したためと考えられる。

図2は圧搾操作の場合について、(8)式を線形化して $\frac{\partial P_s}{\partial t} = C_p \frac{\partial^2 P_s}{\partial w^2}$ (9) C_p :定数

とした場合(II、III)と、(8)式をそのまま計算した結果(I)とを比較したものである。 U_c は平均圧密比とよばれ、時刻 t における圧搾距離と最終圧搾距離との比である。図2によると(9)式による値は、(8)式のものに比べて、圧搾の初期に脱水が速く、逆に末期には脱水が止むるという結果が出ている。これは(8)式の dP_s/dt を定数みなしたことによる。以上のことからも、加压脱水過程の計算においては、(9)式のような取扱いには無理があり、ケーキの圧縮にともなう空隙率の変化の様子を詳細に測定することが重要であるといえる。

図3は、この計算法の一例として、圧入時間と圧搾時間とをえて、単位時間あたりの処理固体量を求めてみたものである。図から、圧搾時間(T_{sp})、圧入時間(T_{in})の変化に対する固体処理量の増減の様子を知ることができる。実際の脱水操作においては、ケーキの除去などのための廃棄時間を考慮する必要があるが、本報で述べた計算法が、加压脱水の操作上の解析にも利用できるという一例を示しておこう。

参考文献

- 1) 白戸: 圧搾操作、最近の化学工学、(1967)、p.158
- 2) 白戸、村瀬、加藤、深谷: スラリーの定圧圧搾の離、化学工学、31巻、11号 (1967)、p.125
- 3) 粉体工学ハンドブック (岩谷出版 制書店) p.596

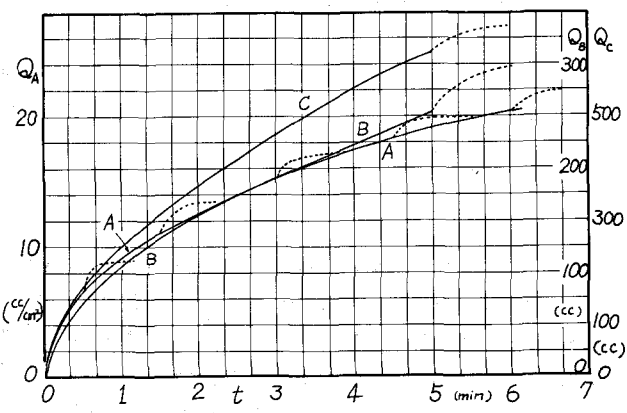


図1

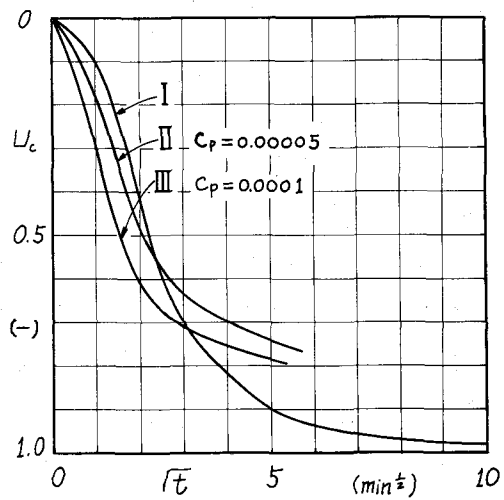


図2

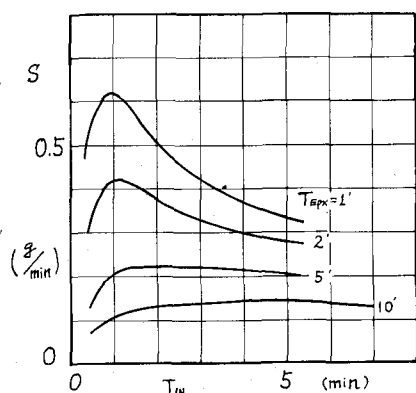


図3